

Санкт-Петербургский политехнический университет Петра Великого
Физико-механический институт
Высшая школа прикладной математики и вычислительной физики

Курс лекций «Модели молекулярного и турбулентного переноса.
Полуэмпирические модели турбулентности»
(http://cfd.spbstu.ru/agarbaruk/lecture/RANS_models)

Лекция 7

Модель Спаларта-Аллмареса (SA)

Гарбарук Андрей Викторович (agarbaruk@mail.ru)
2023

Модель Спаларта-Аллмареса

- Содержит одно дифференциальное уравнение относительно «высокорейнольдсовой» турбулентной вязкости, связанной с турбулентной вязкостью алгебраическим соотношением
 - В качестве линейного масштаба турбулентности использует расстояние до стенки
- Разрабатывалась для задач внешней аэродинамики, но ее область применимости оказалась гораздо шире
 - Успех модели в значительной степени обусловлен практическим подходом при ее создании
- Содержит ряд поправок, расширяющих ее область применимости
 - Поправка на кривизну и вращение
 - Поправка на шероховатость
 - Нелинейная версия модели

Методика построения модели

- Модель должна подходить для широкого круга течений внешней аэродинамики
 - Модель должна быть дифференциальной
- Экономия вычислительных ресурсов имеет значение
 - Одно дифференциальное уравнение
- Для замыкания гипотезы Буссенеска необходима турбулентная вязкость
 - Уравнение переноса записывается относительно ν_t

$$\frac{\partial \nu_t}{\partial t} + u_i \frac{\partial \nu_t}{\partial x_i} = P_{\nu_t} + D_{\nu_t} - \varepsilon_{\nu_t}$$

конвекция генерация диффузия диссипация

The diagram illustrates the physical components of the turbulent viscosity transport equation. The equation is written as $\frac{\partial \nu_t}{\partial t} + u_i \frac{\partial \nu_t}{\partial x_i} = P_{\nu_t} + D_{\nu_t} - \varepsilon_{\nu_t}$. Below the equation, four blue arrows point from the terms to their respective physical interpretations: 'конвекция' (convection) points to the $u_i \frac{\partial \nu_t}{\partial x_i}$ term, 'генерация' (generation) points to the P_{ν_t} term, 'диффузия' (diffusion) points to the D_{ν_t} term, and 'диссипация' (dissipation) points to the $-\varepsilon_{\nu_t}$ term.

- Модель последовательно настраивается на различные канонические течения
 - Свободная турбулентность
 - Свободные сдвиговые течения
 - Пристенная турбулентность
- При необходимости можно добавить поправки, учитывающие влияние тех или иных факторов

Свободная турбулентность

- Отсутствуют твердые стенки
 - Будем считать, что диссипация турбулентной вязкости происходит только за счет влияния стенок
 - ✓ Остальную диссипацию учтем в генерационном члене
- В большинстве практических приложений число Рейнольдса высокое
 - Турбулентная диффузия существенно превышает молекулярную
 - ✓ Молекулярной диффузией можно пренебречь
- Уравнение переноса упрощается

$$\frac{\partial v_t}{\partial t} + u_i \frac{\partial v_t}{\partial x_i} = P_{v_t} + D_{v_t}^{turb}$$

конвекция генерация турбулентная диффузия

Генерация

- Под генерацией понимаются все источники и стоки за исключением подавления турбулентности стенкой
- Можно показать, что генерация в свободных сдвиговых течениях пропорциональна $\partial U / \partial y$
 - Кроме этого она может зависеть только от турбулентной вязкости ν_t
 - ✓ Из соображений размерности $P_{\nu_t} \sim \nu_t \frac{\partial U}{\partial y}$
- Производная скорости должна быть заменена на тензорно инвариантную величину (S или Ω)
 - В задачах внешней аэродинамики в окрестности лобовой точки Ω предпочтительнее чем S (иначе завышается турбулентная вязкость)
$$\frac{\partial \nu_t}{\partial t} + u_i \frac{\partial \nu_t}{\partial x_i} = C_{b1} \Omega \nu_t$$
- Калибровка константы
 - Вырождение однородной изотропной турбулентности ($\nu_t \sim t^{0.2}$) не годится для калибровки константы т.к. $S=0$
 - ✓ Модель SA не предсказывает вырождения однородной турбулентности
 - Калибровка проводилась на задаче вырождения турбулентности в поле однородного сдвига
 - ✓ Эксперимент и DNS: $C_{b1} = 0.1 \div 0.16$
 - ✓ SA: $C_{b1} = 0.13 \div 0.14$

Турбулентная диффузия

- Обычно используют диффузионный оператор вида $D_A^{turb} = \nabla \cdot (v_t / \sigma \nabla A)$
 - Сохраняет интеграл A по пространству
 - ✓ Теорема Остроградского-Гаусса
- Турбулентная вязкость не является фундаментальной физической величиной
 - Для нее не обязаны выполняться законы сохранения
- В модели SA $D_{v_t} = \frac{1}{\sigma} ([\nabla \cdot (v_t \nabla v_t)] + C_{b2} [(\nabla v_t) \cdot (\nabla v_t)])$
 - Сохраняется величина $v_t^{1+C_{b2}}$
- Калибровка констант - свободные сдвиговые течения
 - Поскольку модель ориентирована на задачи внешней аэродинамики, предпочтение было отдано слою смешения и дальнему следу
 - При расчете остальных течений существенная погрешность
 - ✓ Коэффициент расширения круглой струи завышен примерно в 2 раза
- После калибровки модель приобретает вид

$$\frac{\partial v_t}{\partial t} + u_i \frac{\partial v_t}{\partial x_i} = C_{b1} \Omega v_t + \frac{1}{\sigma} ([\nabla \cdot (v_t \nabla v_t)] + C_{b2} [(\nabla v_t) \cdot (\nabla v_t)])$$

$$\sigma = \frac{2}{3}, C_{b1} = 0.1355, C_{b2} = 0.622$$

Логарифмический участок пограничного слоя

- Молекулярная диффузия мала по сравнению с турбулентной
- Появляется диссипативное слагаемое, которое отвечает за подавление турбулентности при приближении к стенке

$$\frac{\partial v_t}{\partial t} + u_i \frac{\partial v_t}{\partial x_i} = P_{v_t} + D_{v_t}^{turb} - \varepsilon_{v_t}$$

конвекция

генерация

турбулентная диффузия

диссипация

- Это слагаемое может зависеть только от расстояния до стенки d и турбулентной вязкости ν_t

✓ Из соображений размерности $\varepsilon_{v_t} = C_{w1} (\nu_t/d)^2$

- На логарифмическом участке профиля скорости выполняются соотношения $S = v^*/(\kappa d)$, $\nu_t = v^* \kappa d$

- Их подстановка в уравнение дает выражение для константы

$$C_{w1} = C_{b1}/\kappa^2 + (1 + C_{b2})/\sigma$$

- ✓ Это настройка на заданный логарифмический профиль скорости

- С учетом диссипации модель приобретает вид

$$\frac{\partial v_t}{\partial t} + u_i \frac{\partial v_t}{\partial x_i} = C_{b1} \Omega v_t + \frac{1}{\sigma} ([\nabla \cdot (\nu_t \nabla v_t)] + C_{b2} [(\nabla v_t) \cdot (\nabla v_t)]) - C_{w1} (\nu_t/d)^2$$

Внешняя область пограничного слоя

- Диссипативное слагаемое настроено на логарифмическую область пограничного слоя

- Слишком медленно убывает во внешней области пограничного слоя
- Для подавления диссипации во внешней области введена функция f_w

$$\varepsilon_{v_t} = -C_{w1} f_w (v_t/d)^2$$

- Для определения этой функции необходим «индикатор»

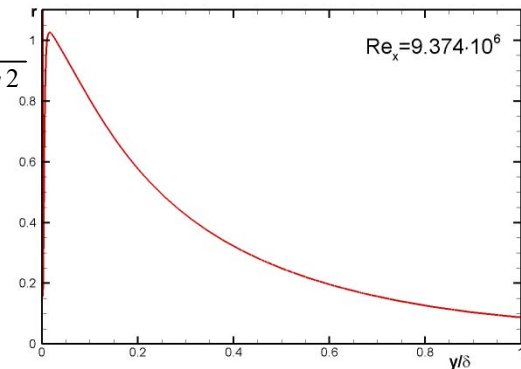
- Должен «различать» логарифмический участок профиля скорости и внешнюю область.

- В модели SA используется величина $r = \left(\frac{l}{l_{mix}} \right)^2 = \frac{v_t}{Sk^2 d^2}$

- ✓ Отношение турбулентной вязкости и вязкости, посчитанной по модели Прандтля

- Функция $f_w = g \left(\frac{1 + C_{w3}^6}{g^6 + C_{w3}^6} \right)^{1/6}$, $g = r + C_{w2} (r^6 - r)$

- Равна 1 на логарифмическом участке профиля скорости
- Около 0.5 во внешней области пограничного слоя
- Равна 0 в свободных сдвиговых течениях.



- Калибровка констант проводилась в пограничном слое на плоской пластине

$$C_{w2} = 0.3, C_{w3} = 2$$

Вязкий подслой и переходная область

- В вязком подслое и переходной области необходимо дополнительное демпфирование турбулентной вязкости
 - Аналог демпфирующего множителя Ван-Дриста
- В дифференциальных моделях существует два способа введения этих функций
 - Ввести их в уравнения
 - ✓ Уравнения становятся более нелинейными
 - ✓ Ухудшается сходимость и устойчивость
 - Оставить уравнение для «высокорейнольдсовой» турбулентной вязкости $\tilde{\nu}$
 - ✓ Этот подход используется в модели SA
 - ✓ По значению $\tilde{\nu}$ пересчитывается турбулентная вязкость

$$\nu_t = f_{v1} \tilde{\nu}, f_{v1} = \frac{\chi^3}{\chi^3 + C_{v1}^3}, \chi = \frac{\tilde{\nu}}{\nu}$$

- ✓ Оказалось, что в вязком подслое и переходной области необходимо увеличить генерацию

$$\tilde{S} = \Omega + f_{v2} \frac{\tilde{\nu}}{\kappa^2 d^2}, f_{v2} = 1 - \frac{\chi}{1 + \chi f_{v1}}$$

- Уравнение при этом записывается следующим образом

$$\frac{\partial \tilde{\nu}}{\partial t} + u_i \frac{\partial \tilde{\nu}}{\partial x_i} = \boxed{C_{b1} \tilde{S} \tilde{\nu}} + \frac{1}{\sigma} ([\nabla \cdot (\boxed{\nu} + \tilde{\nu}) \nabla \tilde{\nu}]) + C_{b2} [(\nabla \tilde{\nu}) \cdot (\nabla \tilde{\nu})] - C_w \boxed{f_w} \left(\frac{\tilde{\nu}}{d} \right)^2$$

Ламинарно-турбулентный переход

При моделировании перехода необходимо решить две задачи

- Определить место перехода
 - Переход принципиально не может быть описан в рамках полуэмпирической модели турбулентности
 - ✓ Переход определяется неустойчивостью ламинарного течения
 - Точка перехода должна быть получена из дополнительных соображений
 - ✓ Предписанный переход (экспериментальные данные, корреляции)
 - ✓ Интегральные модели (метод e^n)
 - ✓ Модели перехода
- Описать переход в рамках выбранной модели турбулентности
 - Уравнения модели обычно имеют два решения
 - ✓ Ламинарное решение
 - Нулевая или очень низкая турбулентная вязкость
 - ✓ Турбулентное решение
 - Для осуществления перехода необходимо перейти с первой ветки на вторую в заданной точке
 - ✓ При этом трудно претендовать на описание характеристик течения в зоне перехода

Trip-term

- В модели SA в окрестности точки перехода вводится дополнительное генерационное слагаемое «trip-term»

$$f_{t1} = C_{t1} g_t \exp\left(-C_{t2} \frac{\omega_t^2}{\Delta U^2} (d_w^2 + g_t^2 d_t^2)\right)$$

$$g_t = \min\left(0.1, \frac{\Delta U}{\omega_t} \Delta l_t\right), \quad \omega_t = \Omega_{w,trip}, \quad d_t^2 = |\vec{r} - \vec{r}_{trip}|, \quad \Delta U = |\vec{u} - \vec{u}_{trip}|$$

- ✓ Нижний индекс “trip” относится к величинам в точке перехода
- ✓ $\Delta l_t = \sqrt{\Delta x^2 + \Delta z^2}$ – диагональ ячейки сетки на обтекаемой поверхности в точке перехода
- ✓ ΔU – модуль разности скоростей в рассматриваемой точке и в точке перехода

➤ Не описывает физического процесса, а является вычислительным трюком

- Важно предотвратить спонтанный переход
 - Его местоположение зависит не от свойств течения, а от численной реализации (схема, сетка и т.д.)
 - В модели SA введена дополнительная функция для подавления генерации при низкой турбулентной вязкости $f_{t2} = C_{t3} \cdot \exp(-C_{t4} \chi^2)$

- Константы модели подбирались таким образом, чтобы в пограничном слое на плоской пластине зависимость $C_f(x)$ совпадала с экспериментальной

$$C_{t1} = 1, C_{t2} = 2, C_{t3} = 1.2, C_{t4} = 0.5$$

Окончательная формулировка модели

$$\frac{\partial \tilde{v}}{\partial t} + u_i \frac{\partial \tilde{v}}{\partial x_i} = C_{b1} (1 - f_{t2}) \tilde{S} \tilde{v} + \frac{1}{\sigma} ([\nabla \cdot ((v + \tilde{v}) \nabla \tilde{v})] + C_{b2} [(\nabla \tilde{v}) \cdot (\nabla \tilde{v})]) - \left(C_{w1} f_w - \frac{C_{b1}}{\kappa^2} f_{t2} \right) \left(\frac{\tilde{v}}{d} \right)^2 + f_{t1} \Delta U^2$$

$$v_t = f_{v1} \tilde{v}, f_{v1} = \frac{\chi^3}{\chi^3 + C_{v1}^3}, \chi = \frac{\tilde{v}}{v}$$

$$\tilde{S} = \Omega + f_{v2} \frac{\tilde{v}}{\kappa^2 d^2}, f_{v2} = 1 - \frac{\chi}{1 + \chi f_{v1}}$$

$$f_w = g \left(\frac{1 + C_{w3}^6}{g^6 + C_{w3}^6} \right)^{1/6}, g = r + C_{w2} (r^6 - r), r = \frac{\tilde{v}}{\tilde{S} \kappa^2 d^2}$$

$$f_{t1} = C_{t1} g_t \exp \left(-C_{t2} \frac{\omega_t^2}{\Delta U^2} (d^2 + g_t^2 d_t^2) \right), f_{t2} = C_{t3} \cdot \exp(-C_{t4} \chi^2),$$

$$g_t = \min(0.1, \Delta U / \omega_t \cdot \Delta l_t), \omega_t = \Omega_{W,trip},$$

$$\Delta l_t = \sqrt{\Delta x^2 + \Delta z^2}$$

$$d_t^2 = (z - z_{trip})^2 + (y - y_{trip})^2 + (x - x_{trip})^2, \Delta U = |u - U_{trip}|.$$

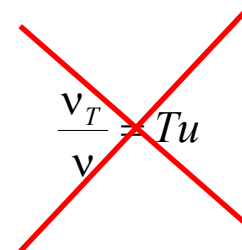
$$\sigma = 2/3, \kappa = 0.41, C_{b1} = 0.1355, C_{b2} = 0.622,$$

$$C_{w1} = \frac{C_{b1}}{\kappa^2} + \frac{(1 + C_{b2})}{\sigma}, C_{w2} = 0.3, C_{w3} = 2, C_{v1} = 7.1,$$

$$C_{t1} = 1, C_{t2} = 2, C_{t3} = 1.2, C_{t4} = 0.5.$$

Граничные условия

- На твердой стенке $\nu_T = \tilde{\nu} = 0$
- Внешний поток
 - Уровень турбулентности $Tu = \frac{\sqrt{k}}{U_e}$
 - ✓ Позволяет определить кинетическую энергию k
 - Обычно внешний поток бесдвиговый
 - ✓ Турбулентную вязкость определить невозможно
- Принято выделять две типичные ситуации
 - Ламинарный внешний поток
 - ✓ Задачи внешней аэродинамики
 - ✓ Задают заведомо низкий уровень турбулентной вязкости $\nu_T = 10^{-3}\nu$
 - Турбулентный внешний поток
 - ✓ Внутренние задачи
 - ✓ Задают высокий уровень турбулентной вязкости $\nu_T = [0.1 \div 10] \cdot \nu$
 - Он должен быть достаточен для турбулизации пограничных слоев
 - ✓ Уровень зависит от используемого кода, сетки, числа Рейнольдса и т.п.


$$\frac{\nu_T}{\nu} = Tu$$

Поправка на кривизну линий тока и вращение

- Кривизна линий тока и вращение потока оказывают существенное влияние на характеристики турбулентности
 - Могут приводить как к ее существенной интенсификации, так и к подавлению турбулентности
 - Использующие гипотезу Буссинеска модели не описывают влияние кривизны линий тока и вращения
- Модель Спаларта-Аллмареса с поправкой на кривизну и вращение (SARC)
 - Критерии кривизны и вращения

$$\checkmark \quad r^* = \left| \frac{S}{\Omega} \right|,$$

$$\checkmark \quad \tilde{r} = \frac{2\Omega_{ik} S_{jk} (DS/Dt)_{ij}}{D^4}, \quad D^2 = \frac{(S^2 + \Omega^2)}{2}$$

- Эмпирическая функция

$$f_{r1} = \frac{2r^*(1 + C_{r1})}{1 + r^*} (1 - C_{r3} \arctg(C_{r2} \tilde{r})) - C_{r1} \quad C_{r1} = 1, C_{r2} = 12, C_{r3} = 1.$$

- Генерационный член SA модели надо умножить на f_{r1}

Установившееся течение во вращающемся канале

- Плоский канал вращается вокруг оси z
 - Кориолисова сила влияет на интенсивность турбулентности
 - ✓ На одной стене турбулентность усиливается, на другой уменьшается
- Исходная модель практически не “чувствует” влияния вращения
 - Приводит к большим ошибкам при расчете течений с кривизной линий тока
- Модель SARC хорошо описывает эффекты вращения

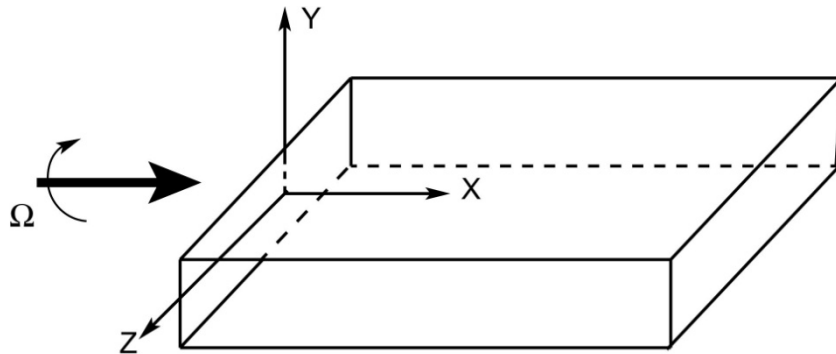
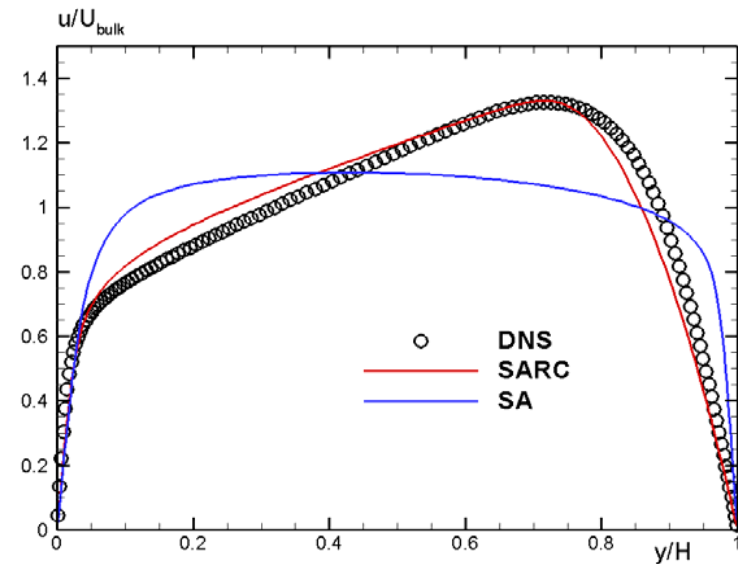
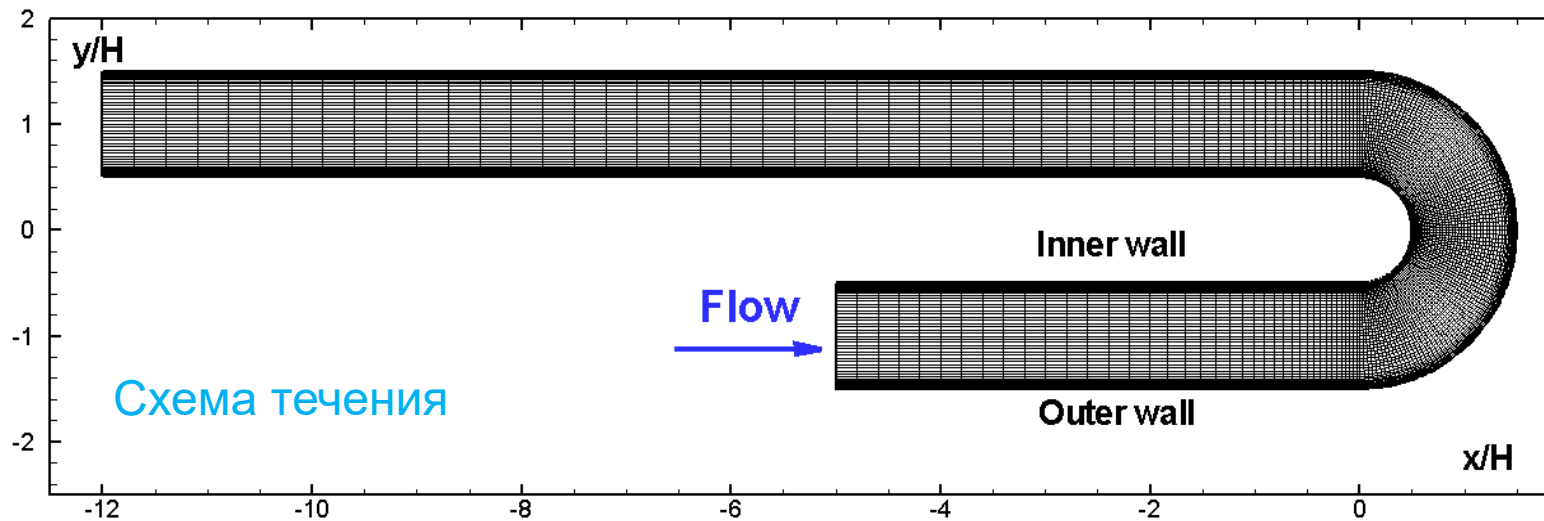


Схема течения

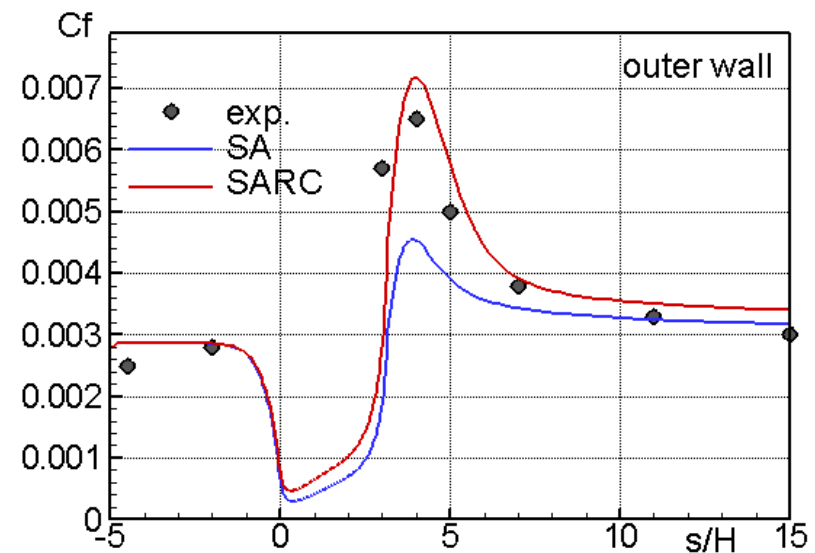


Профиль скорости во вращающемся канале

Течение в канале с поворотом на 180°

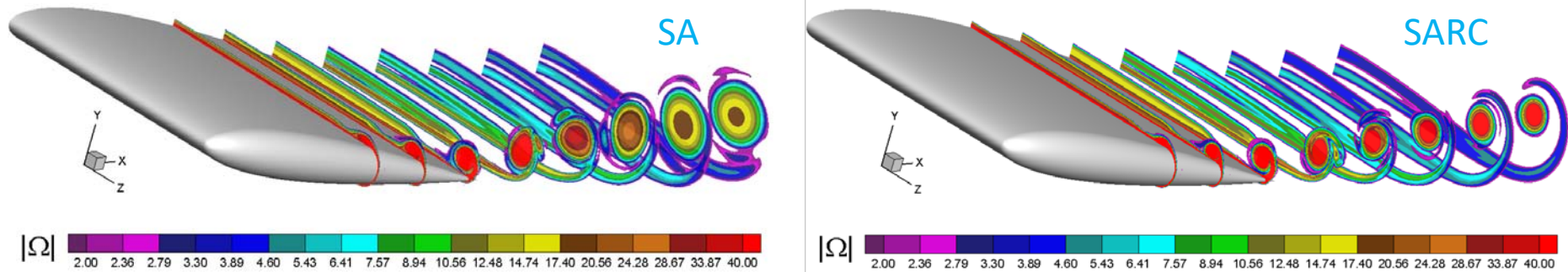


- Модель SARC описывает трение на внешней стенке канала существенно лучше оригинальной модели



Трение на внешней стенке канала

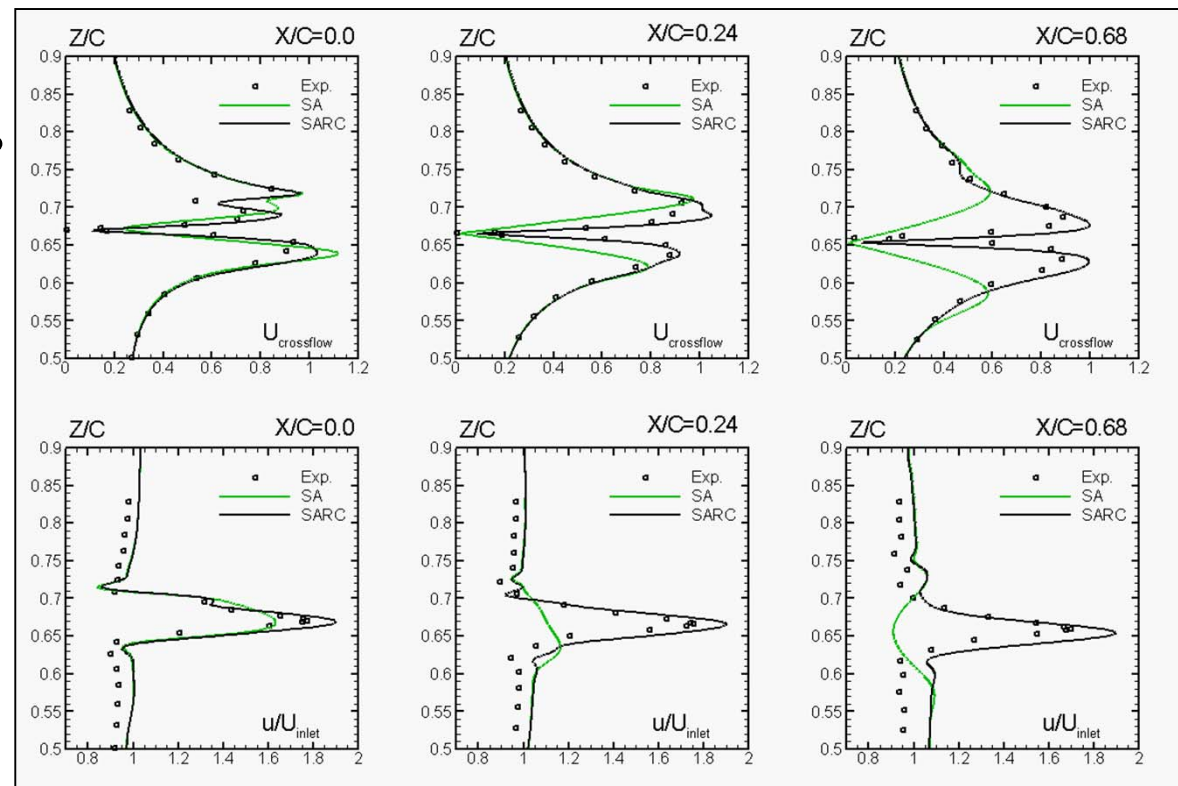
Обтекание крыла конечного размаха NACA0012 со скругленной боковой кромкой



- Поправка подавляет турбулентную вязкость в вихре
 - Вихрь медленнее диссипирует

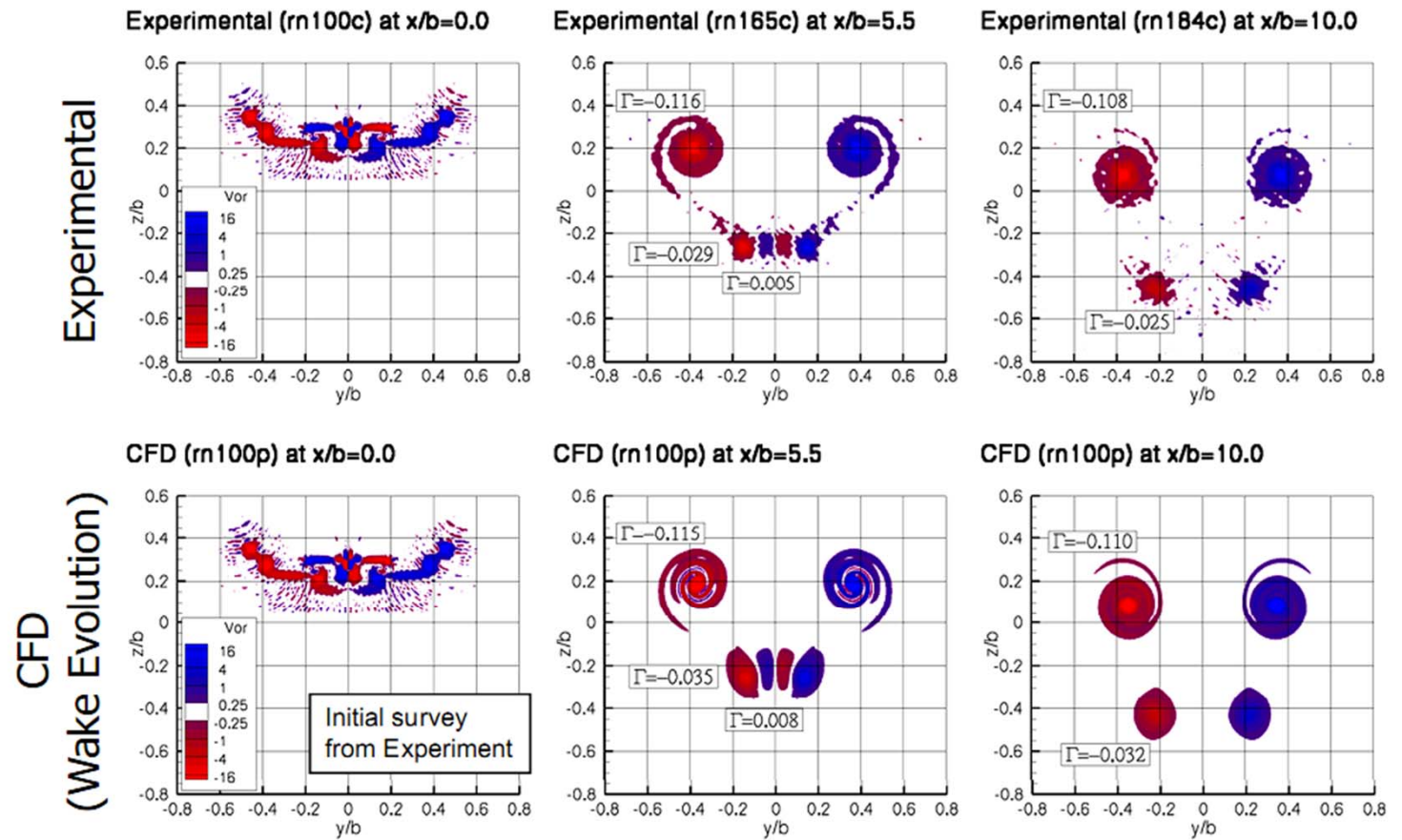
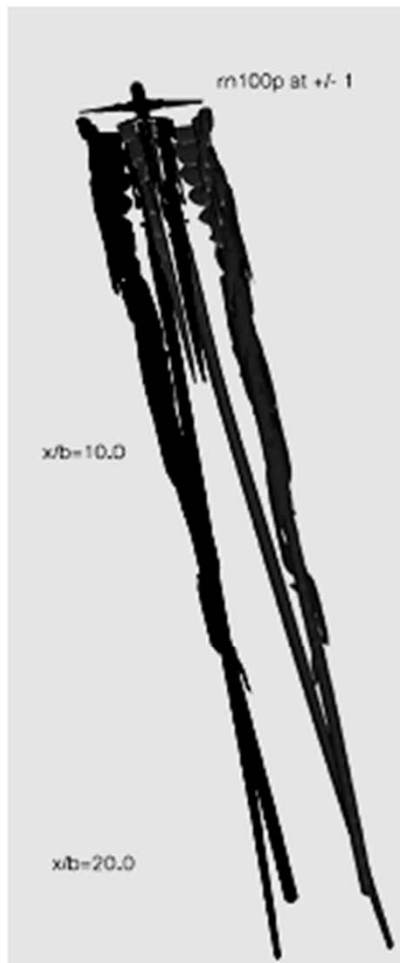


Поправка приводит к кардинальному улучшению решения



Вихревой след за самолетом с механизированным крылом

- Хорошее согласование расчета и эксперимента

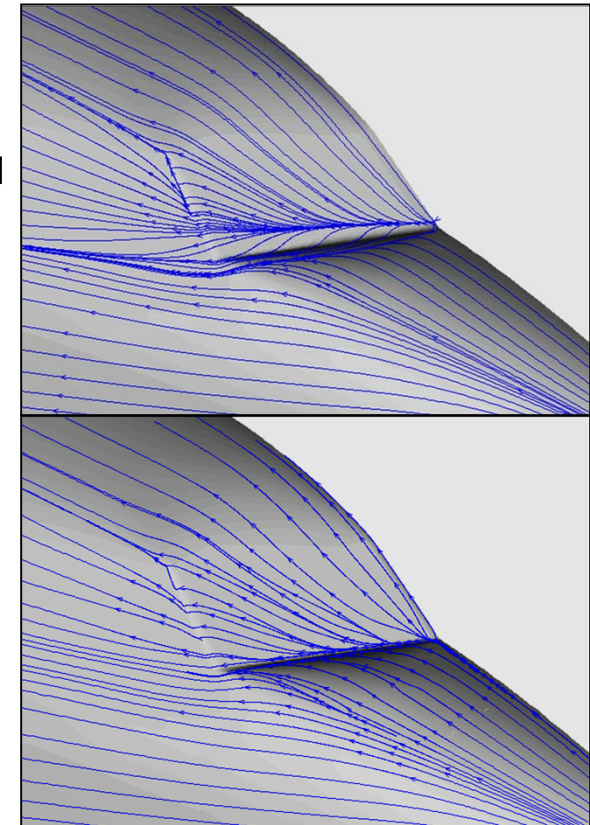
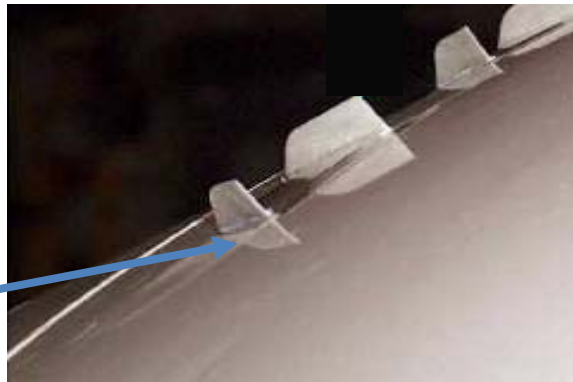


Downstream of the tail

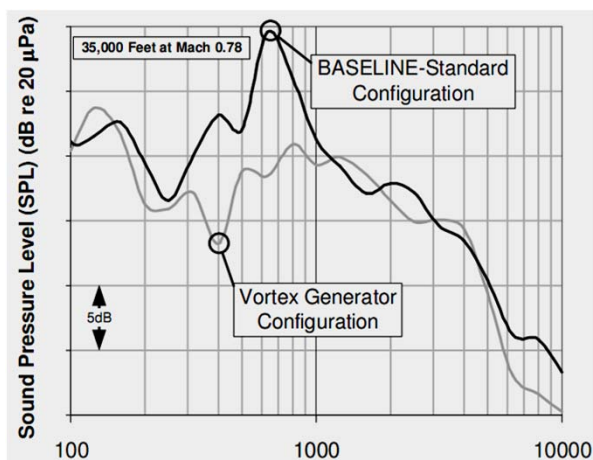
Copyright © 2008 Boeing. All rights reserved.

Расчетная оптимизация вихрегенераторов для снижения шума в кабине Boeing-737

- Отрыв в углу между фюзеляжем и окном является источником шума в кабине пилотов
- С использованием модели SARC были выбраны форма и расположение вихрегенераторов, которые предотвращают отрыв потока



Поверхностные линии тока



- Летные испытания показали существенное снижение шума
 - Вихрегенераторы устанавливаются на все новые Boeing 737

Шероховатость стенок

- Большинство реально обтекаемых поверхностей не являются идеально гладкими
 - Даже очень небольшие неровности поверхности могут сильно повлиять на сопротивление обтекаемых тел
- Многообразии форм неровностей
 - «Эквивалентная» песочная шероховатость с высотой бугорков k_s
 - Наиболее объективный безразмерный параметр $k_s^+ = \frac{k_s v^*}{\nu}$

- Шероховатость изменяет закон стенки

$$u^+ = \frac{1}{\kappa} \ln(y^+) + B$$

- С ростом высоты элементов шероховатости величина B уменьшается

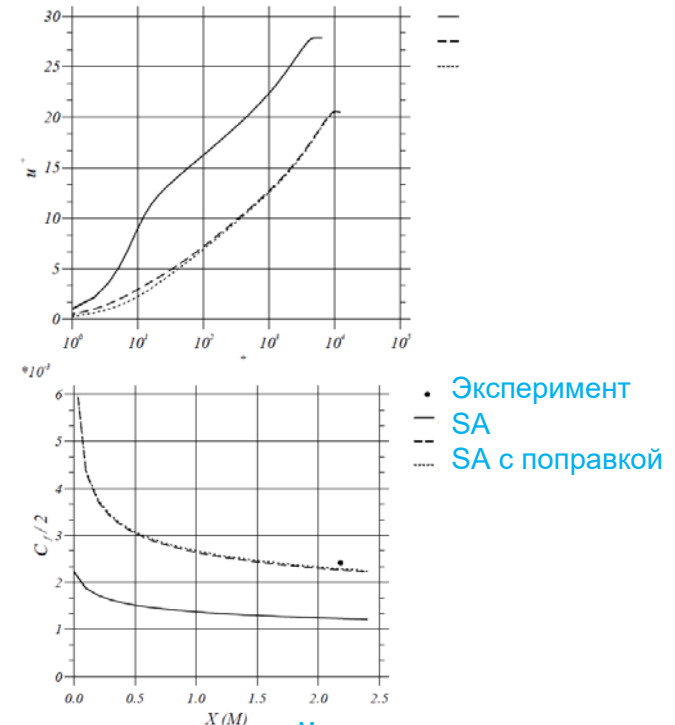
- Необходима явная коррекция

- В пристенных функциях
- В моделях турбулентности

✓ Модель SA

$$\frac{\partial \tilde{v}}{\partial n} = \frac{\tilde{v}}{d}, \chi = \frac{\tilde{v}}{v} + C_{r1} \frac{k_s}{d}, f_{v2} = 1 - \frac{\frac{\tilde{v}}{v}}{1 + \frac{\tilde{v}}{v} f_{v1}}, C_{r1} = 0.5$$

$$d = d_{\min} + 0.03k_s$$



Пограничный слой на шероховатой поверхности

Нелинейная версия модели Спаларта-Аллмареса

- Модель Спаларта-Аллмареса содержит одно уравнение

➤ Невозможно определить турбулентный масштаб времени

✓ В моделях с двумя уравнениями это $\tau = \frac{k}{\varepsilon} = \frac{1}{C_\mu \omega}$

➤ В качестве временного масштаба используется

$$\tau = \frac{1}{\sqrt{\frac{\partial U_i}{\partial x_j} \frac{\partial U_i}{\partial x_j}}} = \frac{1}{\sqrt{(S^2 + \Omega^2)/2}}$$

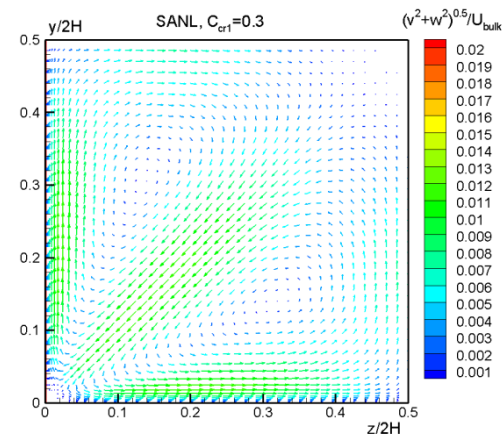
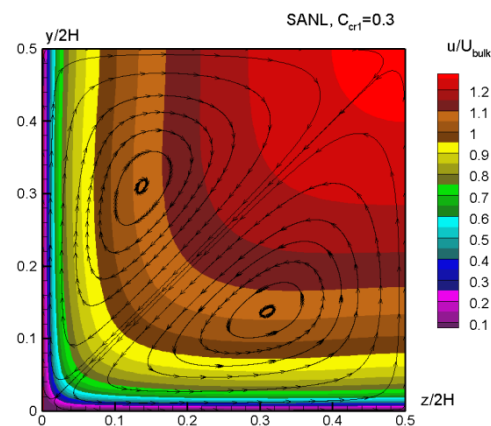
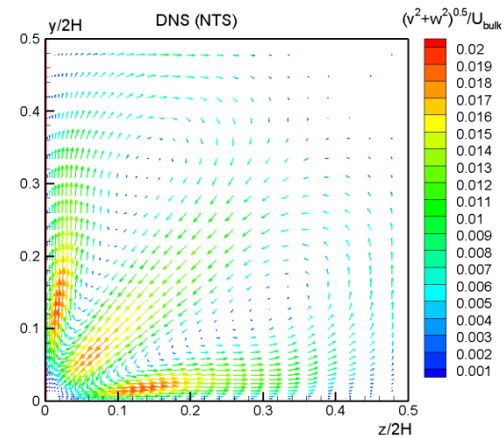
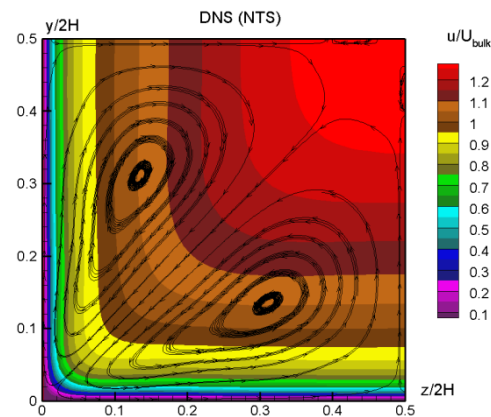
- В модели используется только одно нелинейное слагаемое

$$\overline{u'_i u'_j} = -2\nu_t S_{ij} - C_{cr1} \frac{4\nu_t}{\sqrt{(S^2 + \Omega^2)/2}} (S_{ik} \Omega_{kj} - \Omega_{ik} S_{kj}), \quad C_{cr1} = 0.3$$

- Эта поправка может быть использована с любой моделью турбулентности

Установившееся течение в трубе квадратного сечения

- Нелинейная модель правильно предсказывает структуру течения
 - Интенсивность вторичных токов в углу несколько занижена

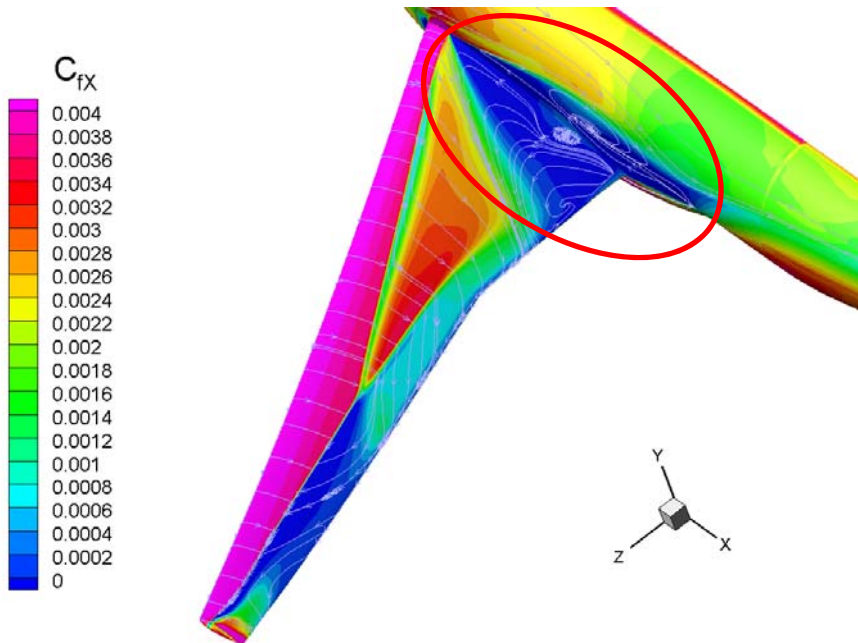


Вторичные токи в канале квадратного сечения

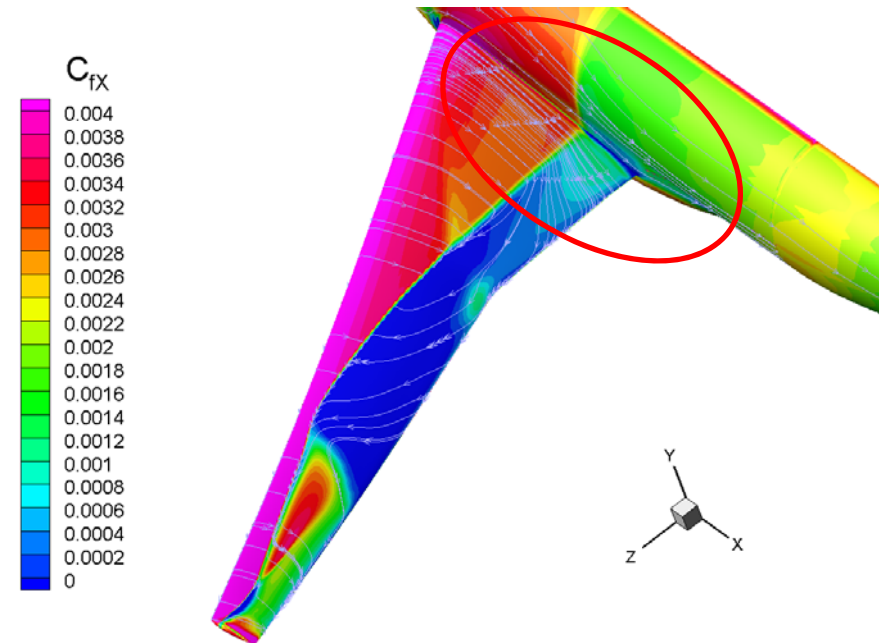
Трансзвуковое обтекание модели самолета CRM (I)

- Параметры течения
 - $Re_{inch} \approx 2 \cdot 10^4$, $M_\infty = 0.85$, $\alpha = 4.1^\circ$
- При использовании нелинейной модели не возникает массивный угловой отрыв
 - Даже столь простая нелинейная модель позволяет правильно описать течение внутри угла

Линейная модель SA



Нелинейная модель SA

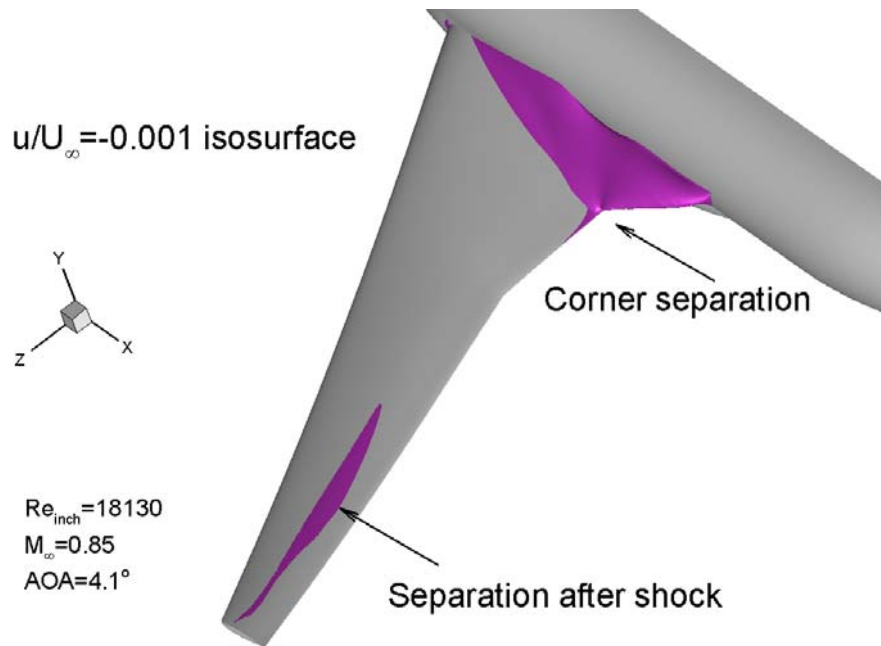


Продольный коэффициент трения и поверхностные линии тока

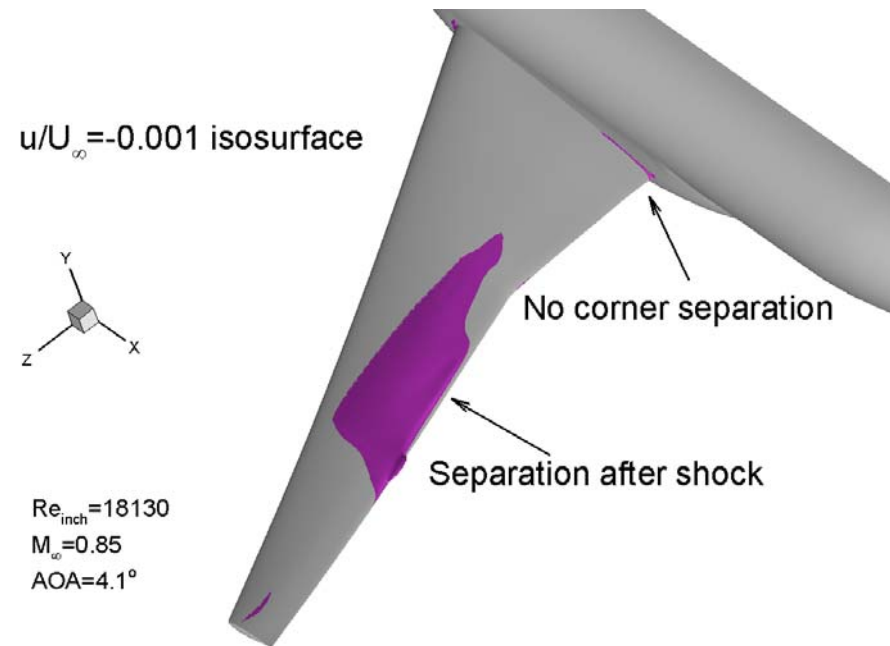
Трансзвуковое обтекание модели самолета CRM (II)

- Наличие углового отрыва меняет структуру течения на всей протяженности крыла

Линейная модель SA



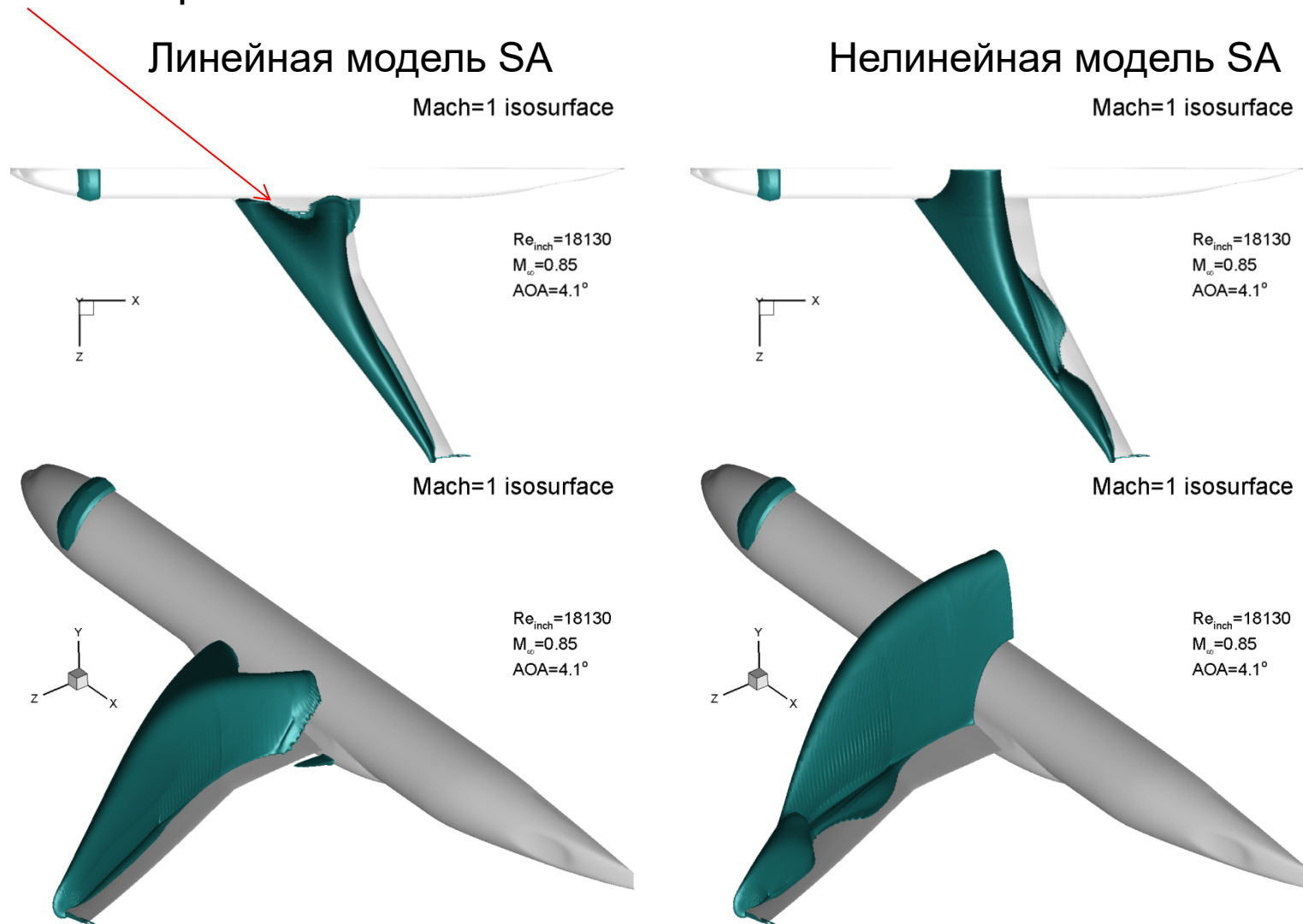
Нелинейная модель SA



Отрывные зоны на поверхности крыла

Трансзвуковое обтекание модели самолета CRM (III)

- Причина столь высокой чувствительности в скачке, вызванном угловым отрывом



Отрывные зоны на поверхности крыла

Резюме

- Модель Спаларта-Аллмареса – одна из лучших полуэмпирических моделей турбулентности
- Содержит одно дифференциальное уравнение относительно «высокорейнольдсовой» турбулентной вязкости
- Настроена на решение задач внешней аэродинамики
- Содержит ряд поправок, расширяющих ее область применимости
 - Поправка на кривизну и вращение
 - Поправка на шероховатость
 - Нелинейная версия модели